

**Федеральное государственное бюджетное образовательное учреждение
высшего профессионального образования
"Уфимский государственный авиационный технический университет"**

Кафедра Высокопроизводительных вычислительных технологий и систем

Дисциплина: Математическое моделирование

Отчет по лабораторной работе № 1

Тема: «Моделирование динамики популяций»

Группа ПМ-453	Фамилия И.О.	Подпись	Дата	Оценка
Студент	Шамаев И.Р.			
Принял	Лукащук В.О.			

Уфа 2023

Цель работы: Получить навык численно-аналитического исследования математических моделей биологии, описывающих динамику популяций.

Задание на лабораторную работу

Задача 1. Рассматривается модель Ферхюльста

$$\frac{dN}{dt} = \alpha N \left(1 - \frac{N}{K} \right),$$

описывающая динамику численности одиночной популяции с учетом конкуренции за ресурсы в условиях их ограниченности.

1. Построить аналитическое решение уравнения.
2. Найти стационарные точки уравнения и выполнить анализ их устойчивости в зависимости от исходных данных задачи. Построить графики соответствующих решений.
3. Выполнить конечно-разностную дискретизацию уравнения по схеме Эйлера и показать, что она сводится к логистическому отображению

$$x_{k+1} = r x_k (1 - x_k).$$

4. Определить аналитически первые четыре стационарные точки и выполнить анализ их устойчивости.
5. Построить бифуркационную диаграмму отображения и численно определить первые шесть точек бифуркации. По найденным значениям рассчитать приближения к числу Фейгенбаума

$$\delta = \lim_{n \rightarrow \infty} \delta_n \approx 4,669, \delta_n = \frac{r_{n+1} - r_n}{r_{n+2} - r_{n+1}},$$

6. где r_n – бифуркационные значения параметра r для n -го цикла удвоения.
7. Найти значения параметра r при которых происходит расщепление решения на три ветви (трифуркация).

Задача 2. Рассмотреть обобщенную модель взаимодействия двух популяций типа хищник-жертва

$$\begin{cases} \frac{dx}{dt} = a(x)x - b(x, y)xy, \\ \frac{dy}{dt} = -c(y)y + d(x, y)xy, \end{cases}$$

где $x(t)$ – размер популяции «жертв», $y(t)$ – размер популяции «хищников». Вид функций $a(x), b(x, y), c(y), d(x, y)$ определяется индивидуально в зависимости от номера варианта.

Для модели со значениями функций, соответствующих индивидуальному заданию, выполнить следующее:

1. дать биологическую интерпретацию модели;
2. выполнить обезразмеривание модели с целью уменьшения количества значимых коэффициентов;
3. численно-аналитически найти стационарные точки модели и определить их тип;
4. исследовать найденные стационарные точки на устойчивость;
5. построить в окрестности каждой стационарной точки фазовый портрет.

Вариант 1:

$$\frac{\begin{matrix} a(x) \\ A \end{matrix} \quad \begin{matrix} b(x, y) \\ B/(E+x) \end{matrix} \quad \begin{matrix} c(y) \\ C(y+M) \end{matrix} \quad \begin{matrix} d(x, y) \\ D/(E+x) \end{matrix}}{}$$

Задача 1. Модель Ферхюльста

Построение аналитического решения и определение стационарных точек уравнения Ферхюльста

Рассмотрим модель Ферхюльста динамики популяции

$$\frac{dN}{dt} = \alpha N \left(1 - \frac{N}{K} \right) = \alpha N - \beta N^2,$$

где

- $K = \frac{\alpha}{\beta}$ – предельное значение популяции;
- N – численность популяции;
- α – удельная скорость изменения численности особей;
- β – степень изменения скорости размножения особей в связи с ограниченностью ресурсов питания.

Определим стационарные точки уравнения :

$$\alpha N \left(1 - \frac{N}{K} \right) = 0 \Rightarrow N_1 = 0, N_2 = K.$$

Обозначим $f(N) = \alpha N \left(1 - \frac{N}{K}\right)$. Тогда:

$$\frac{df(N)}{dN} = \alpha - \frac{2\alpha N}{K}.$$

В стационарных точках из предыдущего находим:

$$\begin{aligned} \frac{df(N)}{dN} \Big|_{N=N_1^*} &= \alpha, \\ \frac{df(N)}{dN} \Big|_{N=N_2^*} &= -\alpha. \end{aligned}$$

Таким образом, получаем, что при $\alpha < 0$ точка N_1^* устойчива, точка N_2^* неустойчива. При $\alpha > 0$ наоборот.

Рассмотрим следующую систему:

$$\begin{cases} \frac{dN}{dt} = \alpha N - \beta N^2 \\ N|_{t=0} = N_0, \end{cases}$$

где N_0 — начальное количество особей. Найдем решение системы:

$$\begin{aligned} \int_{N_0}^N \frac{dN}{\alpha N - \beta N^2} &= \int_0^t dt, \\ \ln\left(\frac{N}{N_0}\right) - \ln\left(\frac{1 - \frac{N}{K}}{1 - \frac{N_0}{K}}\right) &= \alpha t. \end{aligned}$$

Далее, выражая из полученного уравнения N количество особей в популяции в момент времени t , получим:

$$N = \frac{K e^{\alpha t}}{\frac{K}{N_0} - 1 + e^{\alpha t}} = \frac{K N_0 e^{\alpha t}}{K + N_0 (e^{\alpha t} - 1)}.$$

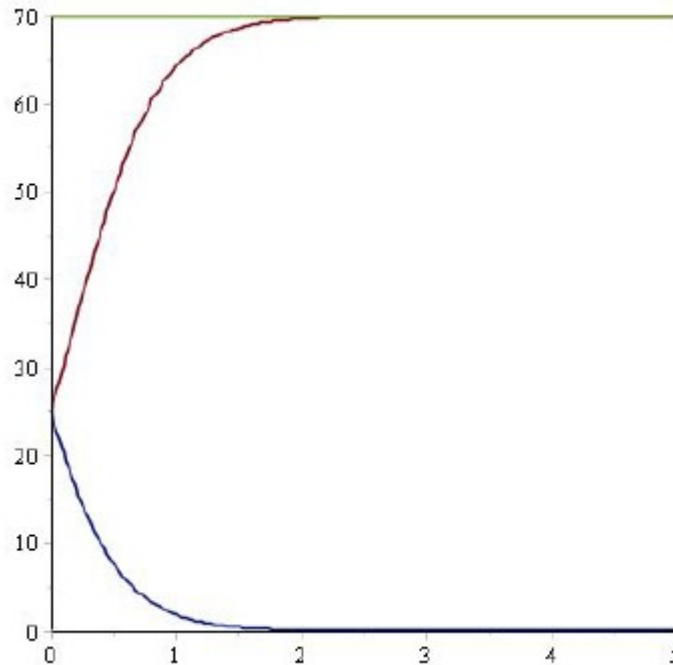
Анализ устойчивости стационарных точек уравнения Ферхюльста в зависимости от исходных данных

Положим $K = 70$ — предельное значение популяции и проведем исследование устойчивости стационарных точек уравнения в зависимости от исходных данных.

Случай $N_0 < K/2$

Рассмотрим $\alpha > 0$. Если начальная численность популяции N_0 меньше величины экологической емкости популяции K , то с течением времени ее размер будет расти, приближаясь к своему предельному значению K . При этом, если начальная численность составляет менее половины емкости

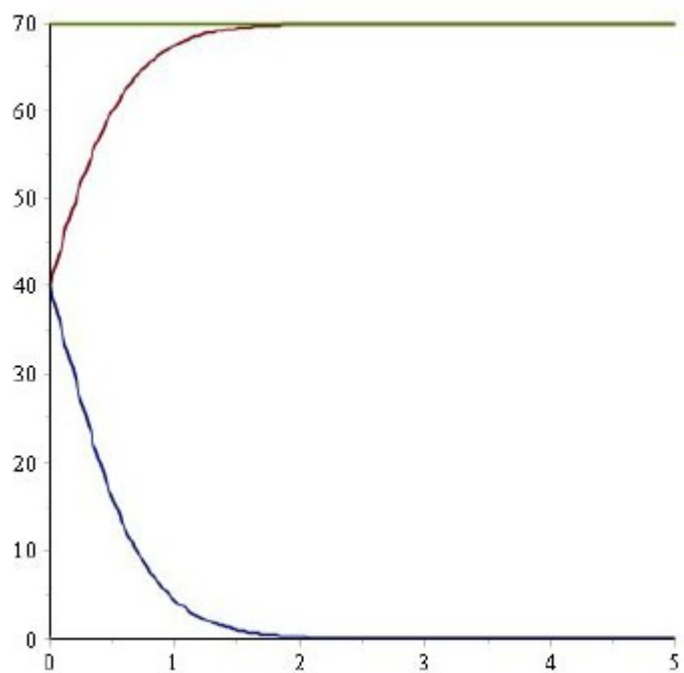
экологической ниши, на начальном этапе скорость роста популяции будет возрастать, пока численность не достигнет значения $K/2$, а затем начнет снижаться, стремясь к нулю. Данный вид кривой обусловлен постепенным усилением действия неблагоприятных факторов по мере увеличения плотности популяции.



$N_0 = 25$ - начальный размер популяции, $K = 70$ - предельное значение популяции (зеленый график), $\alpha = 3$ (красный график), $\alpha = -3$ (синий график)

Случай $N_0 > K/2$

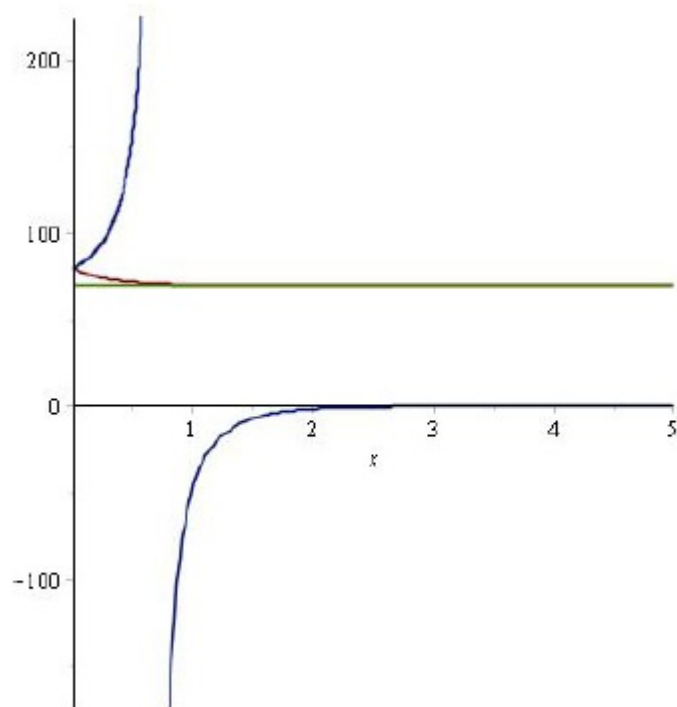
Рассмотрим $\alpha > 0$. Если начальная численность популяции N_0 составляет более половины емкости экологической емкости популяции K , то размер популяции будет увеличиваться, стремясь к значению K , а скорость ее роста будет неуклонно снижаться. Данный вид кривой так же обусловлен постепенным усилением действия неблагоприятных факторов по мере увеличения плотности популяции.



$N_0=40$ - начальный размер популяции , $K=70$ - предельное значение популяции (зеленый график), $\alpha=3$ (красный график), $\alpha=-3$ (синий график)

Случай $N_0 > K$

Если размер популяции в начальный момент времени больше предельно возможного значения, то численность популяции будет снижаться. Случай при $\alpha < 0$ невозможен, так как в этом случае популяция уже истратила свои ресурсы.



$N_0=80$ - начальный размер популяции , $K=70$ - предельное значение популяции (зеленый график), $\alpha=3$ (красный график), $\alpha=-3$ (синий график)

Конечно-разностная дискретизация уравнения модели Ферхюльста по схеме Эйлера

Рассмотрим модель Ферхюльста динамики популяции :

$$\frac{dN}{dt} = \alpha N \left(1 - \frac{N}{K} \right) = \alpha N - \beta N^2,$$

Введем дискретные моменты времени и размеры популяции:

$$\Delta t = t_{k+1} - t_k = \text{const},$$

$$\frac{dN}{dt} \Big|_{t=t_k} = \frac{\Delta N}{\Delta t} \Big|_{t=t_k} = \frac{N_k - N_{k-1}}{\Delta t}.$$

Далее, учитывая - , уравнение будет иметь вид:

$$\begin{aligned} \frac{dN}{dt} \Big|_{t=t_k} &= \alpha N_k - \beta N_k^2, \\ N_{k+1} &= \Delta t \alpha N_k \left(1 - \frac{\beta}{\alpha} N_k \right) + N_k, \\ \gamma x_{k+1} &= \Delta t \alpha \gamma x_k \left(1 - \frac{\beta}{\alpha} \gamma x_k \right) + \gamma x N_k, \\ x_{k+1} &= (1 + \alpha \Delta t) x_k [1 - \gamma \alpha \Delta t x_k] / (1 + \alpha \Delta t), \end{aligned}$$

Упрощая полученное выражение и обозначая $\gamma = \frac{1+\alpha\Delta t}{\alpha\Delta t}$, $r = 1 + \alpha\Delta t$, получим:

$$x_{k+1} = r x_k (1 - x_k).$$

Таким образом, показали, что конечно-разностная дискретизация уравнения Ферхюльста сводит его к уравнению , которое называется логистическим отображением.

Определение стационарных точек логистического отображения и анализ их устойчивости

Рассмотрим уравнение $x_{k+1} = f(x_k, r)$. Стационарной точкой данного уравнения будет являться решение системы $x_k^i = x_{k+1}^i = f(x_k^i, r)$.

Возьмем $x_k = x^i + \Delta x_k$, $x_{k+1} = x^i + \Delta x_{k+1}$. Тогда:

$$x^i + \Delta x_{k+1} = f(x^i + \Delta x_k, r) \approx f(x^i, r) + \frac{\partial f}{\partial x} \Big|_{x=x^i} \Delta x_k,$$

откуда получим

$$\Delta x_{k+1} = \frac{\partial f}{\partial x} \Big|_{x=x^*} \Delta x_k.$$

Рассмотрим последовательность $\Delta x_k: \Delta x_{k+1} < \Delta x_k, \forall k$. Условие устойчивости стационарной точки имеет вид:

$$\left| \frac{\partial f}{\partial x} \Big|_{x=x^*} \right| < 1.$$

Таким образом, стационарными точками логистического отображения будут являться следующие точки:

$$x_1^* = 0,$$

$$x_2^* = \frac{r-1}{r},$$

$$x_{3,4}^* = r+1 \pm \sqrt{r(r+1)}$$

Теперь проверим устойчивость полученных стационарных точек - :

и

Используя условие устойчивости получаем:

1. при $r \in (0, 1)$ x_1^* устойчива;
2. при $r \in (1, 3)$ x_2^* устойчива;
3. при $r \in (3, 1+\sqrt{6})$ $x_{3,4}^*$ устойчива;

Бифуркационная диаграмма

Проведем для модели Ферхюльста аналитическое нахождение первой точки бифуркации.

Для точки бифуркации справедлива следующая система:

$$\begin{cases} f(x_2) = x_1 \\ f(x_1) = x_2, \end{cases} \Rightarrow \begin{cases} x_1 = r x_2 (1 - x_2) \\ x_2 = r x_1 (1 - x_1). \end{cases}$$

Произведем сложение обоих уравнений, затем вычтем из первого уравнения второе, и после некоторых преобразований получим систему:

$$\begin{cases} (x_1 + x_2)^2 - 2x_1x_2 = (x_1 + x_2) \left(\frac{r-1}{r} \right) \\ x_1 - x_2 = (x_1 + x_2) (r(x_1 + x_2) - r), \end{cases} \Rightarrow \begin{cases} (x_1 + x_2) = \frac{1+r}{r} \\ x_1x_2 = \frac{1+r}{r^2}. \end{cases}$$

Решая систему, получаем выражение для x_1 и x_2 :

$$x_{1,2} = \frac{1+r \pm \sqrt{(r-3)(r+1)}}{2r}.$$

Из найденной формулы делаем вывод, что точка бифуркации может существовать при значениях $r \geq 3$.

Также легко убедиться, что при $r=3$ происходит раздвоение решения, так как $\frac{\partial f}{\partial x} \big|_{r=3} = -1$.

Найдем первую точку неустойчивости решения при $r \geq 3$. Для этого надо использовать правило дифференцирования сложной функции:

$$[f(f(x_1))]' = f'(f(x_1))f'(x_1) = f'(x_2)f'(x_1),$$

так как

$$f'(x) = r(1-2x) \Rightarrow r^2(1-2x_1)(1-2x_2) = r^2(1-2(x_1+x_2)+4x_1x_2) = r^2\left(1-2\frac{1+r}{r}+4\frac{1+r}{r^2}\right) = -r^2+2r+4.$$

Далее, чтобы найти значение r , нужно решить следующее уравнение:

$$-r^2+2r+4=-1 \Rightarrow r=1+\sqrt{6} \approx 3,499.$$

Следовательно, так же можно найти остальные точки бифуркации.

Приведем первые точки бифуркации:

$$\begin{aligned} r_1 &= 1; \\ r_2 &= 3; \\ r_3 &= 3,4494; \\ r_4 &= 3,5441; \\ r_5 &= 3,5645; \\ r_6 &= 3,5688; \\ r_7 &= 3,5697. \end{aligned}$$

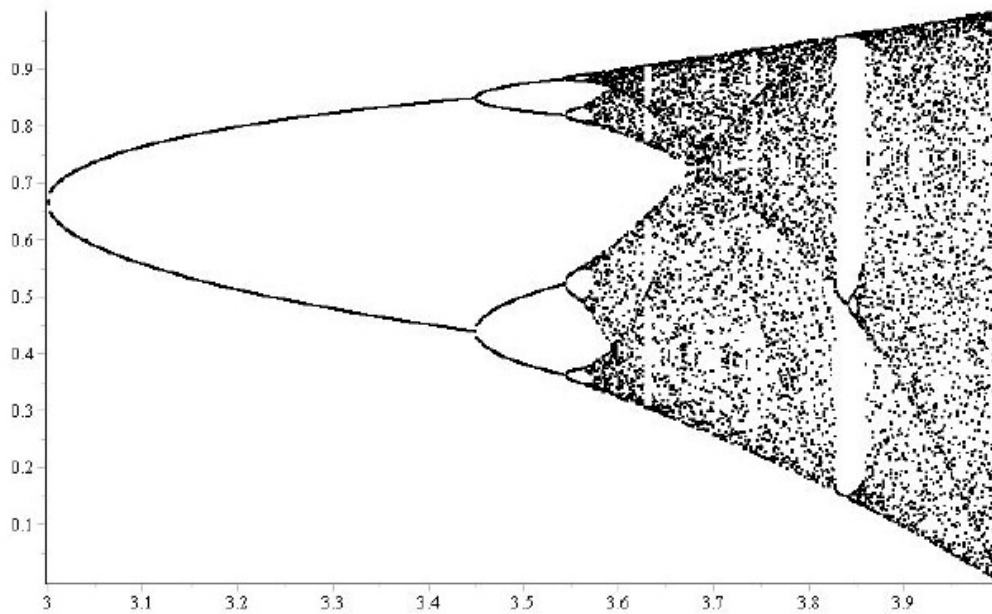
и точку трифуркации:

$$r_8 = 3,8285.$$

На языке C++ была реализована программа, которая вычисляет:

- точки бифуркации, алгоритм нахождения которых следующий: при достаточно большом времени при варьировании параметра r в полуинтервале \hat{r} с шагом $t=0.01$ запоминается n точек, которые являются решением уравнения (3);
- точку трифуркации;
- несколько первых приближений к числу Фейгенбаума, равное $\lim_{n \rightarrow \infty} \delta_n = \delta_0 = 4,669$.

С помощью математического пакета Maple было построено бифуркационное дерево



Бифуркаци

онная диаграмма

Задача 2. Модель Лотки-Вольтера

Пусть биологическая модель описывается системой двух автономных дифференциальных уравнений:

$$\begin{cases} \frac{dx}{dt} = a(x)x - b(x, y)xy, \\ \frac{dy}{dt} = -c(y)y + d(x, y)xy, \end{cases}$$

Биологическая интерпретация модели

Согласно индивидуальному заданию система Лотки-Вольтера принимает вид:

$$\begin{cases} \frac{dx}{dt} = Ax - \frac{B}{E+x}xy, \\ \frac{dy}{dt} = -C(y+M)y + \frac{D}{E+x}xy, \end{cases}$$

Биологическая интерпретация модели следующая:

1. $a(x) = A$ означает, что популяция жертв растет линейно;
2. $b(x, y) = \frac{B}{E+x}$ показывает, что смертность жертв будет убывать с ростом популяции;

3. $c(y)=C(y+M)$ означает, что популяция хищников будет убывать квадратично со сдвигом на M ;
4. $d(x,y)=\frac{D}{E+x}$ показывает, что рождаемость хищников будет снижаться с ростом популяции жертв;

где $A, B, C, D, E, M - \dot{\iota}$ произвольные положительные константы.

Обезразмеривание модели

Индивидуальное задание:

$$\begin{aligned} b(x,y) &= \frac{B}{E+x}; \\ d(x,y) &= \frac{D}{E+x}; \\ c(y) &= C(y+M); \\ a(x) &= A, \end{aligned}$$

где $A, B, C, D, E, M - \dot{\iota}$ произвольные положительные константы.

Перейдем к обезразмериванию модели:

$$\bar{x} = \frac{x}{X}, \bar{y} = \frac{y}{Y}, \bar{t} = \frac{t}{T}.$$

Таким образом, при учете индивидуального задания и введении переменных для обезразмеривания, биологическую модель можно представить следующей системой:

$$\begin{cases} \frac{d\bar{x}}{d\bar{t}} = A\bar{x} - \frac{B}{E+\bar{x}}T\bar{y}\bar{x}, \\ \dot{\iota} \frac{d\bar{y}}{d\bar{t}} = -C(\bar{y}Y+M)T\bar{y} + \frac{D}{E+\bar{x}}T\bar{x}\bar{y}. \end{cases}$$

После проведения операции обезразмеривания, система принимает вид:

$$\begin{cases} \frac{d\bar{x}}{d\bar{t}} = \alpha\bar{x} - \beta \frac{\bar{x}\bar{y}}{1+\bar{x}}, \\ \dot{\iota} \frac{d\bar{y}}{d\bar{t}} = -\bar{y}(\bar{y}+1) + \gamma \frac{\bar{x}\bar{y}}{1+\bar{x}}, \end{cases}$$

где $\alpha = A/CM, \beta = B/CE, \gamma = D/CM$.

Определение стационарных точек модели и анализ их устойчивости

Система имеет одну вещественную неотрицательную стационарную точку в начале координат:

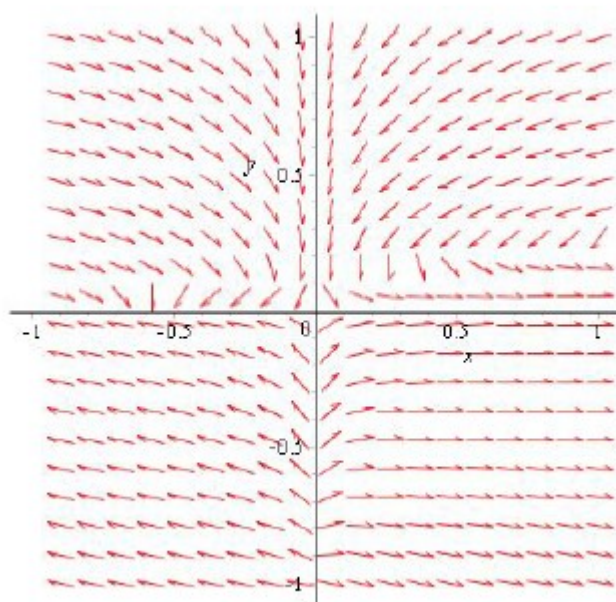
$$x_1=0, y_1=0.$$

А также вещественную неотрицательную точку

$x_1=3, y_1=\frac{1}{2}$, получаемую при разрешении образуемого квадратного уравнения $\alpha=1, \beta=8, \gamma=2$

Рассмотрим окрестность точки $(0;0)$:

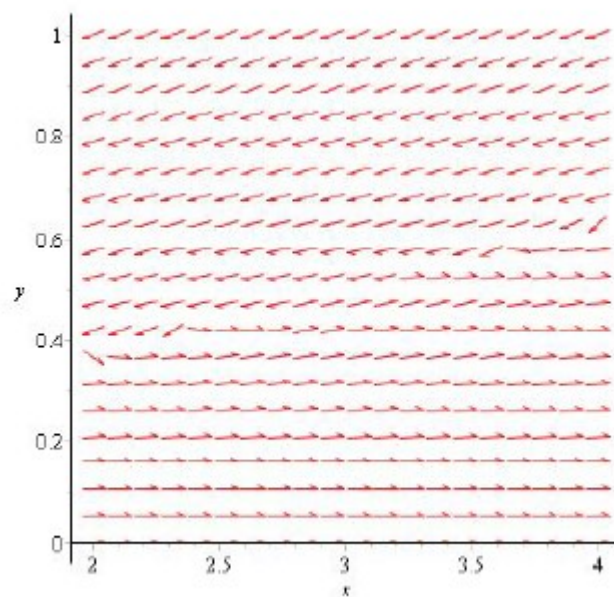
$$A_{(0;0)} = \begin{pmatrix} -\lambda & 0 \\ 0 & -\lambda \end{pmatrix} \Rightarrow \lambda_1 = \lambda_2 = 0.$$



Фазовый портрет точки $(0; 0)$

Данная вырожденная стационарная точка типа “седло” является неустойчивой. Рассмотрим теперь окрестность точки $(3;1/2)$:

$$A_{\left(3;\frac{1}{2}\right)} = \begin{pmatrix} -\lambda & 0 \\ 0 & -\lambda \end{pmatrix} \Rightarrow \lambda_1 = \lambda_2 = 0.$$



Фазовый портрет точки (1/2)

Данная точка так же является вырожденной. И на основе полученного фазового портрета позволяет сделать вывод, что каждая точка данной фазовой плоскости есть положение равновесия.

Заключение

В ходе первой части проделанной лабораторной работы была реализована модель Ферхюльста, построено бифуркационное дерево и посчитаны приближенные значения числа Фейгенбаума. Второй частью лабораторной работы была исследована модель Лотки-Вольтера в рамках нахождения особых точек системы обыкновенных дифференциальных уравнений и определения их типов.

Проанализировав предоставленную модель, была получена одна особая точка. Из полученного результата делаем вывод, что поведение системы устроено одинаково и каждая её точка является положением равновесия.

```

#define _USE_MATH_DEFINES
#include <iostream>
#include <conio.h>
#include <math.h>
#include <stdio.h>
#include <iomanip>
#include <stdlib.h>
#include <fstream>

using namespace std;

#define S 50
#define N 1000

struct double_pair
{
    double first;
    double second;
};

struct double_int
{
    int value;
    double key;
};

double_int find(int num, double_int* mas, int max)
{
    double_int result;
    for (int i = 0; i < max; i++)
    {
        if (mas[i].value == num)
        {
            if (num != 3)
            {
                result.key = mas[i].key;
                result.value = num;
                return result;
            }
            else
            {
                if (mas[i].key > double(3.55))
                {

```

```

        result.key = mas[i].key;
        result.value = num;
        return result;
    }
}
}

int main()
{
    int SpecialSolutionCount[] = { 2,4,8,16,3 };
    double begin = 3, end = 4, x = double(2.0 / 3.0), eps = 0.0001, step =
0.000001;
    double_int* solution_num = new double_int[1000000];
    int solution_count = 0;
    int tmp = 0;
    double func = x;
    double i = begin;
    while (i < end)
    {
        int unique_count = 0;
        double_int* unique_solutions = new double_int[100];
        for (int j = N; j > 1; j--)
        {
            func = func * i * (1.0 - func);
            if (j < 5)
            {
                bool unique = true;
                for (int k = 0; k < unique_count; k++)
                {
                    if (abs(unique_solutions[k].key - func) < eps)
                    {
                        unique = false;
                        unique_solutions[k].value++;
                    }
                }
                if (unique)
                {
                    unique_solutions[unique_count].key = func;
                    unique_solutions[unique_count].value = 1;
                    unique_count++;
                }
            }
        }
        solution_num[tmp].key = i;
        solution_num[tmp].value = unique_count;
        tmp++;
        delete[] unique_solutions;
        i += step;
    }
    ofstream out;
    out.open("bif.csv");
    for (int i = 0; i < tmp; i++)
    {
        out << solution_num[i].key << ";" << solution_num[i].value << endl;
    }
    out.close();

    double_int* first_result = new double_int[5];
    for (int i = 0; i < 5; i++)
    {
        first_result[i] = find(SpecialSolutionCount[i], solution_num, tmp);
    }
    for (int i = 0; i < 5; i++)

```



```
{
    cout << first_result[i].value << " " << first_result[i].key << " ";
    if (i > 1 && i <= 3)
    {
        double diff = (first_result[i - 1].key - first_result[i - 2].key) /
(first_result[i].key - first_result[i - 1].key);
        cout << diff;
    }
    cout << endl;
}
_getch();
return 0;
}
```